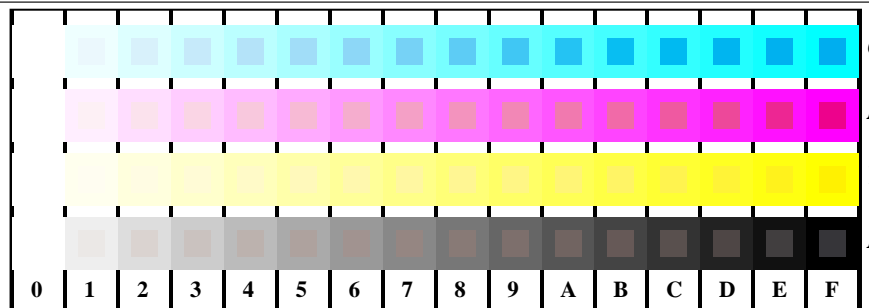
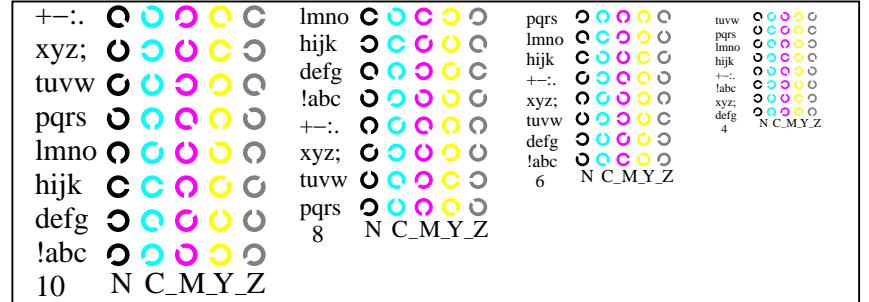


voir des fichiers similaires: <http://130.149.60.45/~farbmetrik/TF97/TF97L0FP.PDF> / .PS  
 informations techniques: <http://www.ps.bam.de> ou <http://130.149.60.45/~farbmetrik>

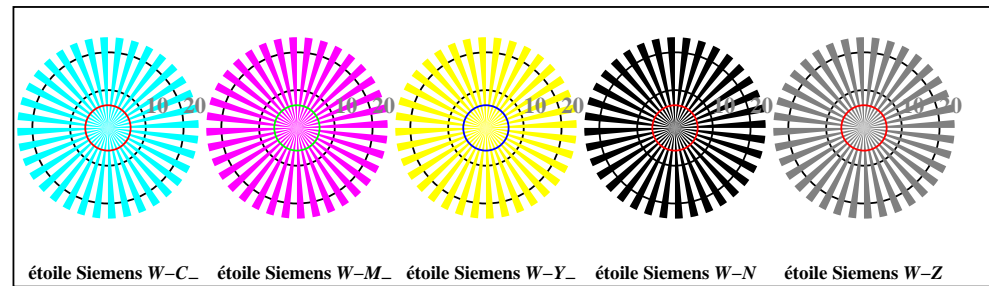
TUB enregistrement: 20150701-TF97/TF97L0FP.PDF /.PS  
 application pour la mesure des sorties sur offset  
 TUB matériel: code=rha4ta



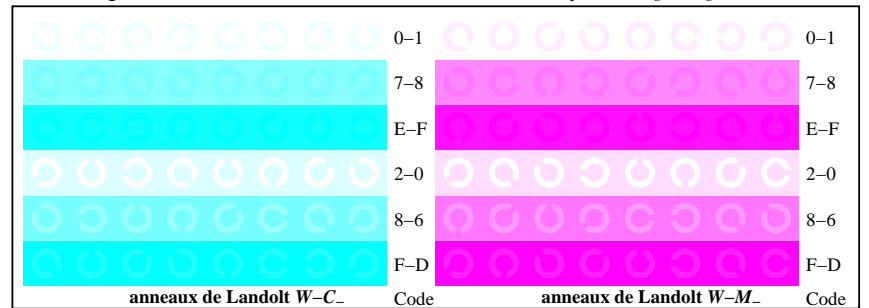
TF971-1, Fig. B4W-: 16 paliers équidistants W-C-; W-M-; W-Y-; W-N-; rgb/cmy0 set(rgb/cmyk)color



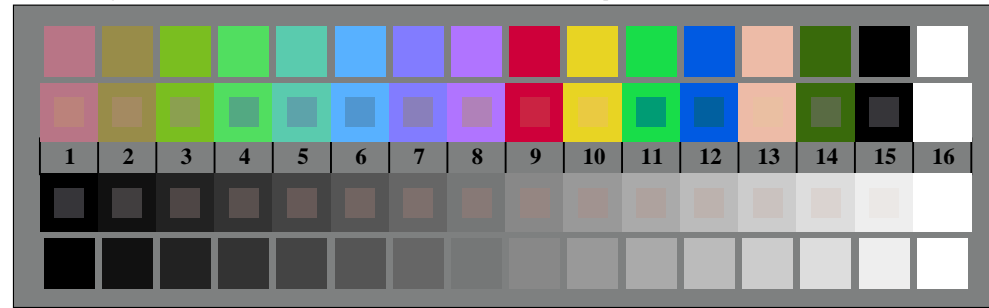
TF971-3, Fig. B5W-: code et anneau de Landolt N; C-; M-; Y-; Z; PS opérateur: rgb setrgbcolor



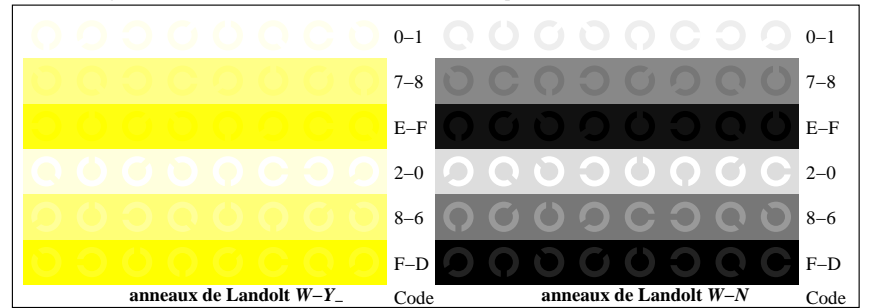
TF970-5, Fig. B2W-: étoile de Siemens W-C-; W-M-; W-Y-; W-N-; PS opérateur: rgb setrgbcolor



TF971-5, Fig. B6W-: anneaux de Landolt W-C-; W-M-; PS opérateur: rgb setrgbcolor

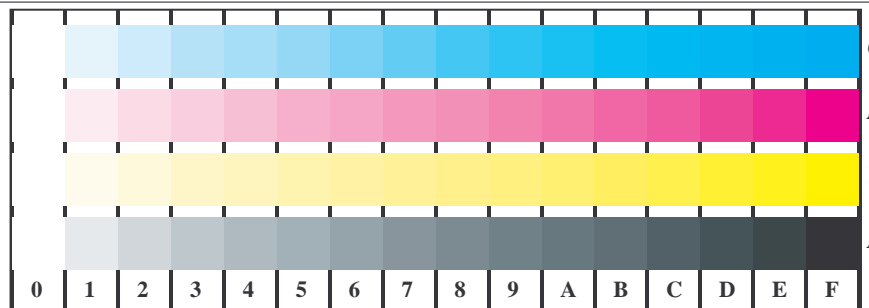
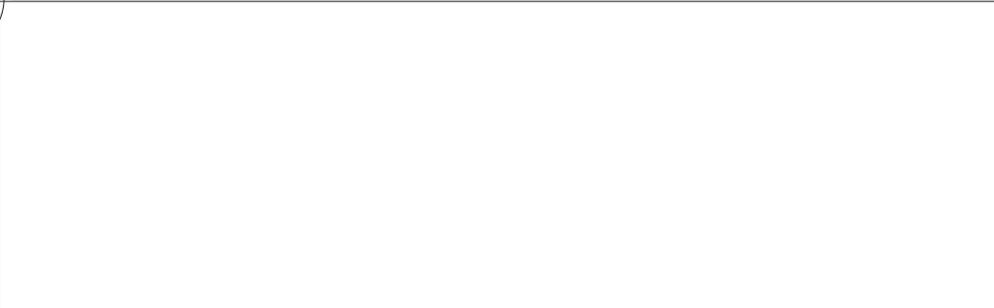


TF970-7, Fig. B3W-: 14 CIE test couleurs et 2 + 16 paliers de gris (sf); PS opérateur: rgb/cmy0 set(rgb/cmyk)color

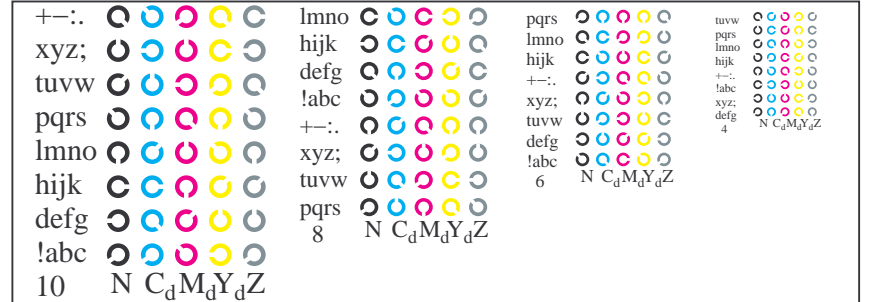


TF971-7, Fig. B7W-: anneaux de Landolt W-Y-; W-N-; PS opérateur: rgb setrgbcolor

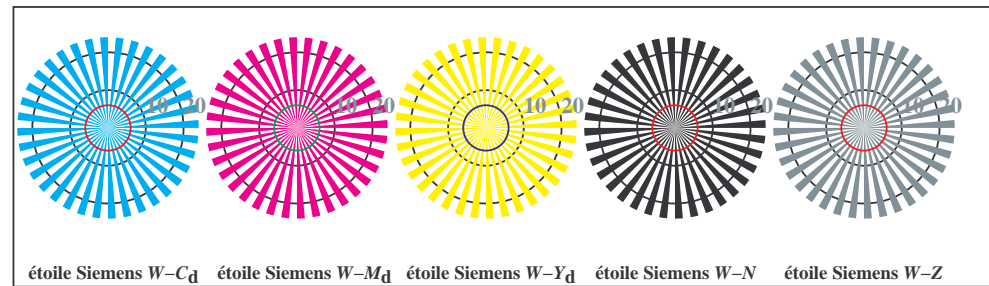
voir des fichiers similaires: <http://130.149.60.45/~farbmetrik/TF97/TF97.L0FP.PDF> / .PS  
informations techniques: <http://www.ps.bam.de> ou <http://130.149.60.45/~farbmetrik>



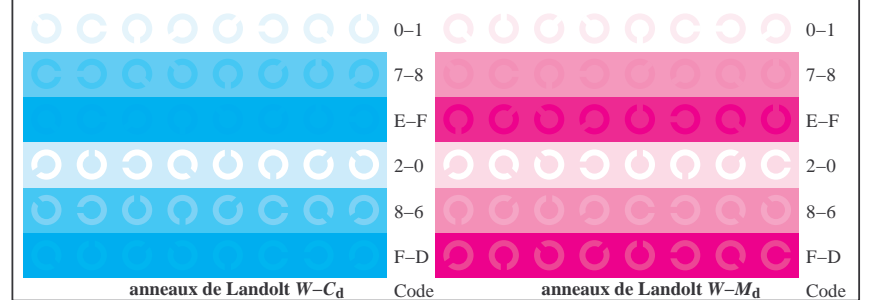
TF971-1, Fig. B4Wdd: 16 paliers équidistants W-C<sub>d</sub>; W-M<sub>d</sub>; W-Y<sub>d</sub>; W-N; rgb/cmy0->rgb<sub>dd</sub> setrgbcolor



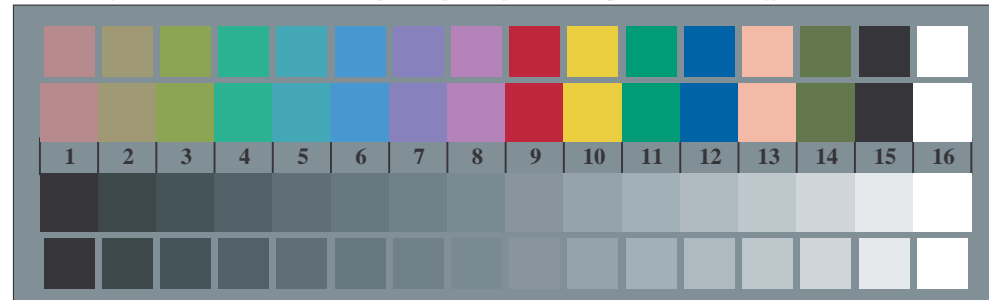
TF971-3, Fig. B5Wdd: code et anneau de Landolt N; C<sub>d</sub>; M<sub>d</sub>; Y<sub>d</sub>; Z; PS opérateur: rgb->rgb<sub>dd</sub> setrgbcolor



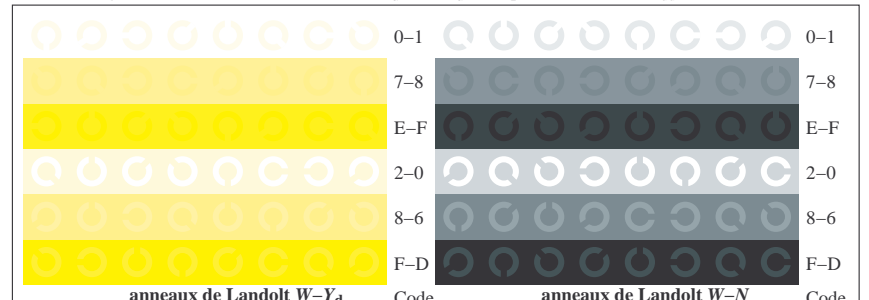
TF970-5, Fig. B2Wdd: étoile de Siemens W-C<sub>d</sub>; W-M<sub>d</sub>; W-Y<sub>d</sub>; W-N; PS opérateur: rgb->rgb<sub>dd</sub> setrgbcolor



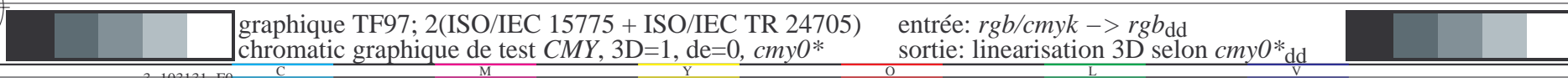
TF971-5, Fig. B6Wdd: anneaux de Landolt W-C<sub>d</sub>; W-M<sub>d</sub>; PS opérateur: rgb->rgb<sub>dd</sub> setrgbcolor



TF970-7, Fig. B3Wdd: 14 CIE test couleurs et 2 + 16 paliers de gris (sf); PS opérateur: rgb/cmy0->rgb<sub>dd</sub> setrgbcolor



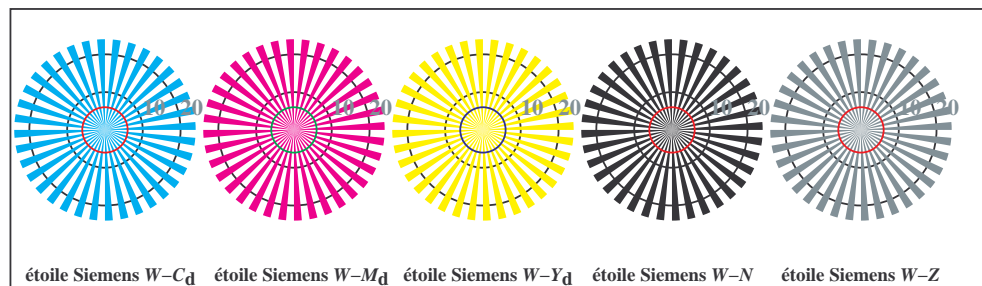
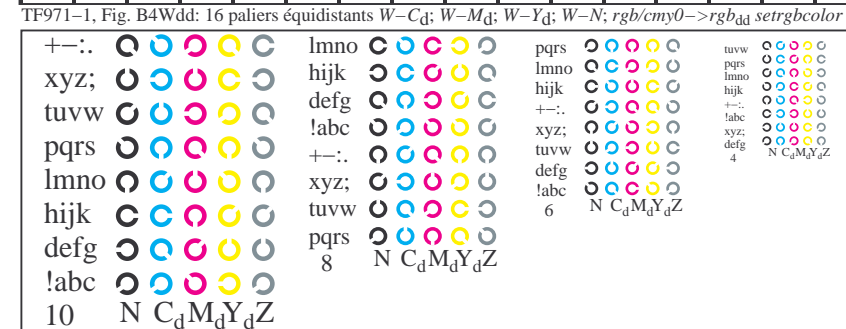
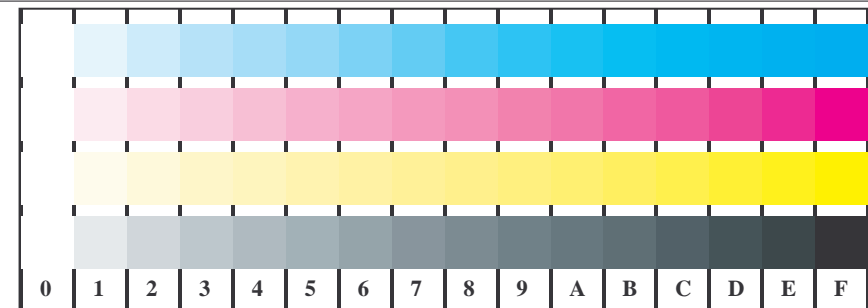
TF971-7, Fig. B7Wdd: anneaux de Landolt W-Y<sub>d</sub>; W-N; PS opérateur: rgb->rgb<sub>dd</sub> setrgbcolor



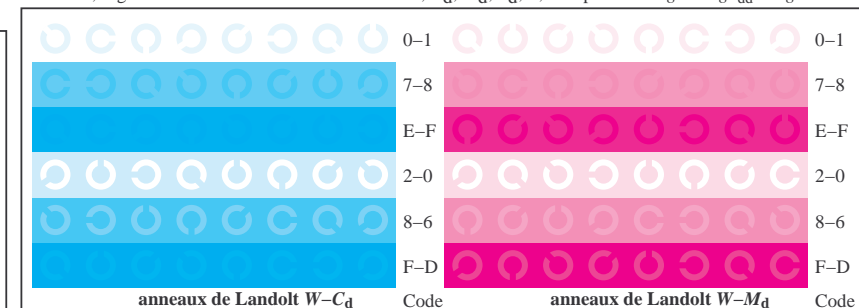
TUB enregistrement: 20150701 - TF97/TF97L0FP.PDF / .PS TUB matériel: code=rh4ta  
application pour la mesure des sorties sur offset, séparationcmy0\* (CMY0)

voir des fichiers similaires: <http://130.149.60.45/~farbmetrik/TF97/TF97L0FP.PDF> / .PS  
 informations techniques: <http://www.ps.bam.de> ou <http://130.149.60.45/~farbmetrik>

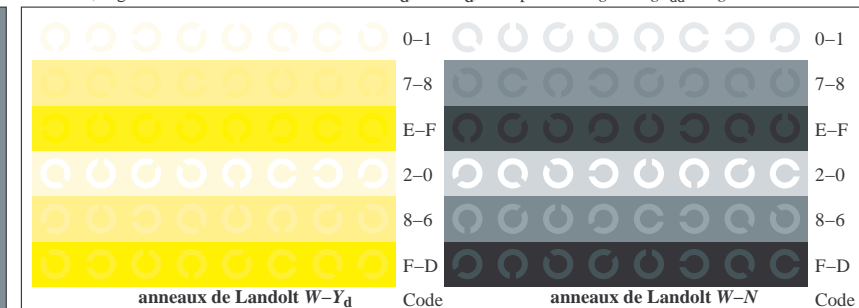
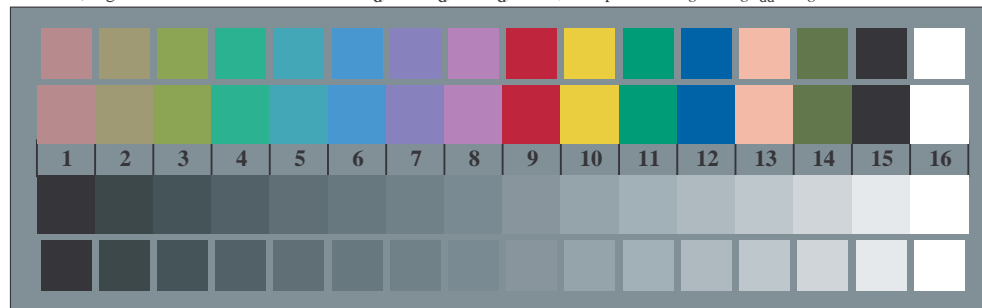
TUB enregistrement: 20150701 - TF97/TF97L0FP.PDF / .PS TUB matériel: code=rh4ta  
 application pour la mesure des sorties sur offset, séparationcmy0\* (CMY0)



TF970-5, Fig. B2Wdd: étoile de Siemens W-C<sub>d</sub>; W-M<sub>d</sub>; W-Y<sub>d</sub>; W-N; *PS* opérateur: *rgb* → *rgb<sub>dd</sub> setrgbcolor*



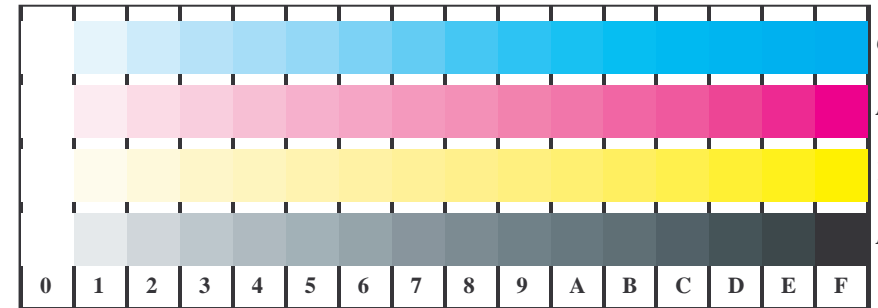
TF971-5, Fig. B6Wdd: anneaux de Landolt W-C<sub>d</sub>; W-M<sub>d</sub>; *PS* opérateur: *rgb* → *rgb<sub>dd</sub> setrgbcolor*



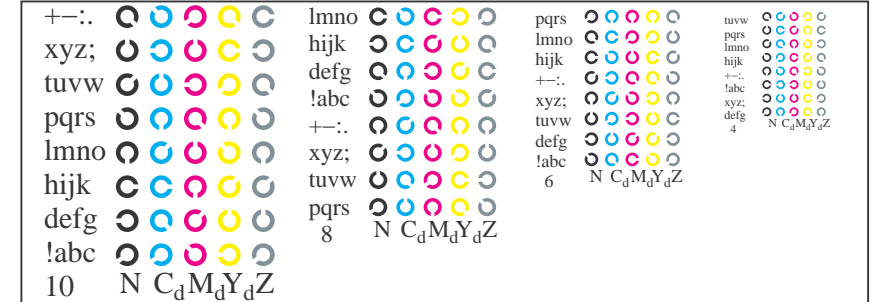
TF971-7, Fig. B7Wdd: anneaux de Landolt W-Y<sub>d</sub>; W-N; *PS* opérateur: *rgb* → *rgb<sub>dd</sub> setrgbcolor*

voir des fichiers similaires: <http://130.149.60.45/~farbmetrik/TF97/TF97L0FP.PDF> / .PS  
 informations techniques: <http://www.ps.bam.de> ou <http://130.149.60.45/~farbmetrik>

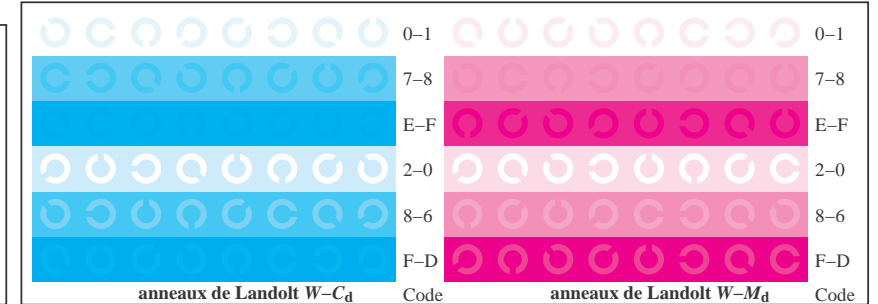
TUB enregistrement: 20150701 - TF97/TF97L0FP.PDF / .PS TUB matériel: code=rh4ta  
 application pour la mesure des sorties sur offset, séparationcmy0\* (CMY0)



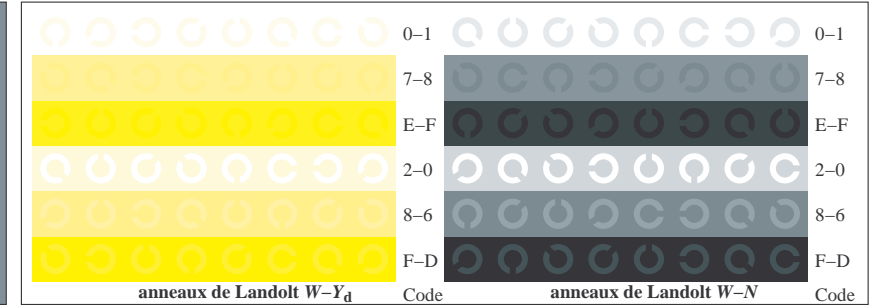
TF971-1, Fig. B4Wdd: 16 paliers équidistants W-C<sub>d</sub>; W-M<sub>d</sub>; W-Y<sub>d</sub>; W-N; rgb/cmy0 → rgb<sub>dd</sub> setrgbcolor



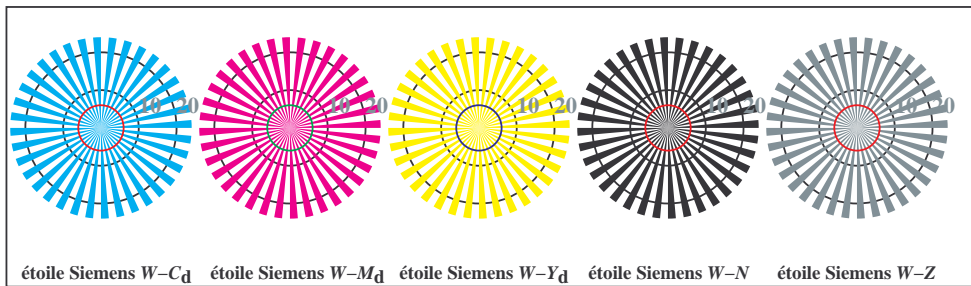
TF971-3, Fig. B5Wdd: code et anneau de Landolt N; C<sub>d</sub>; M<sub>d</sub>; Y<sub>d</sub>; Z; PS opérateur: rgb → rgb<sub>dd</sub> setrgbcolor



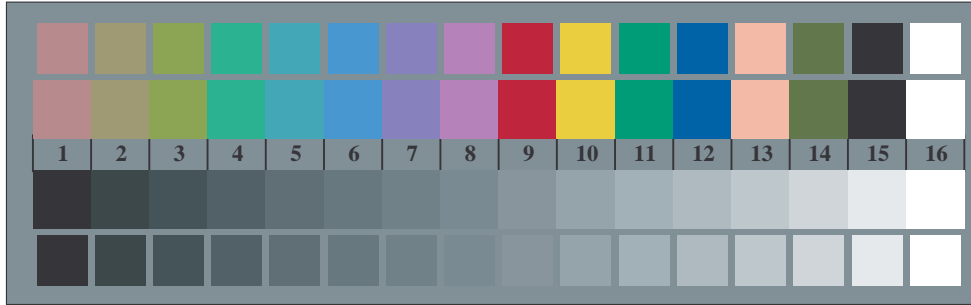
TF971-5, Fig. B6Wdd: anneaux de Landolt W-C<sub>d</sub>; W-M<sub>d</sub>; PS opérateur: rgb → rgb<sub>dd</sub> setrgbcolor



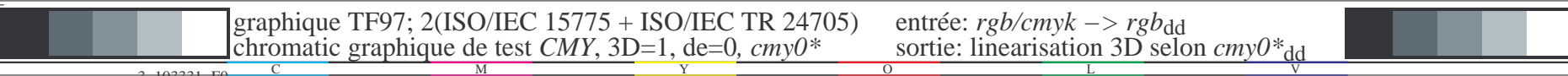
TF971-7, Fig. B7Wdd: anneaux de Landolt W-Y<sub>d</sub>; W-N; PS opérateur: rgb → rgb<sub>dd</sub> setrgbcolor



TF970-5, Fig. B2Wdd: étoile de Siemens W-C<sub>d</sub>; W-M<sub>d</sub>; W-Y<sub>d</sub>; W-N; PS opérateur: rgb → rgb<sub>dd</sub> setrgbcolor



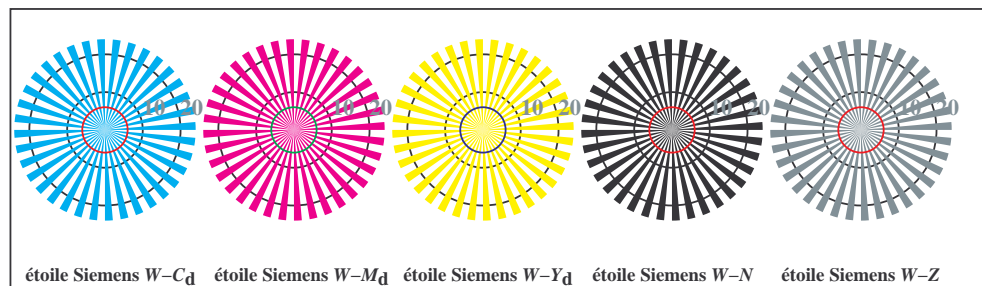
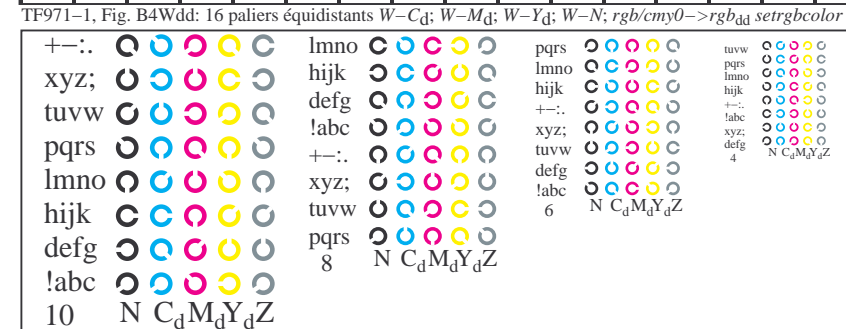
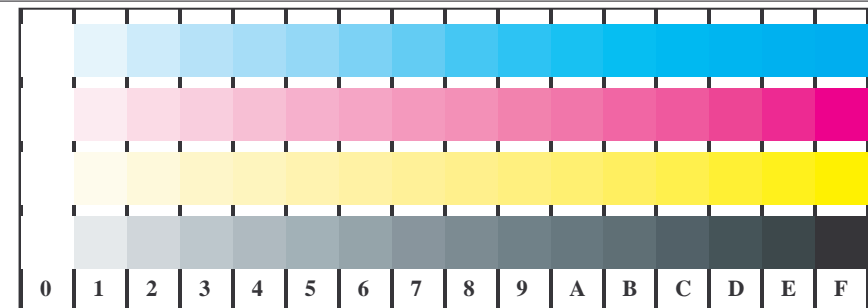
TF970-7, Fig. B3Wdd: 14 CIE test couleurs et 2 + 16 paliers de gris (sf); PS opérateur: rgb/cmy0 → rgb<sub>dd</sub> setrgbcolor



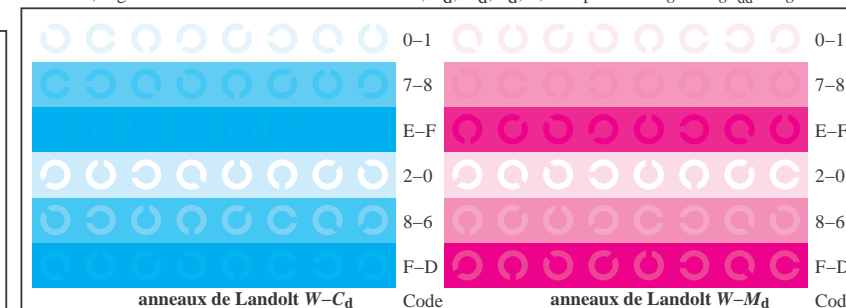
graphique TF97; 2(ISO/IEC 15775 + ISO/IEC TR 24705) entrée: rgb/cmyk → rgb<sub>dd</sub>  
 chromatic graphique de test CMY, 3D=1, de=0, cmy0\* sortie: linearisation 3D selon cmy0\*<sub>dd</sub>

voir des fichiers similaires: <http://130.149.60.45/~farbmetrik/TF97/TF97L0FP.PDF> / .PS  
 informations techniques: <http://www.ps.bam.de> ou <http://130.149.60.45/~farbmetrik>

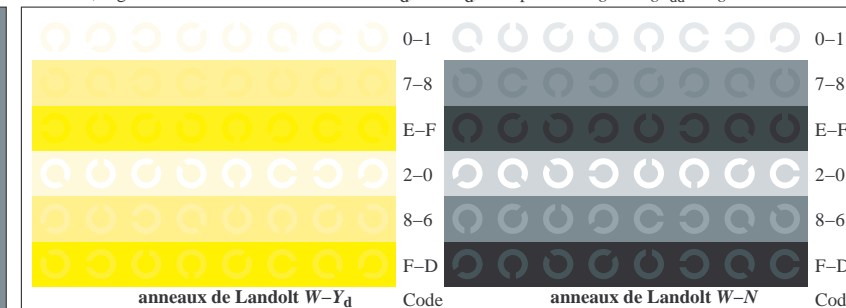
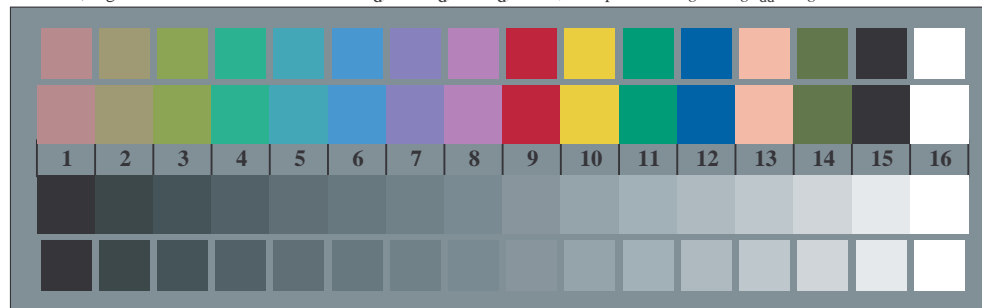
TUB enregistrement: 20150701 - TF97/TF97L0FP.PDF / .PS TUB matériel: code=rh4t4  
 application pour la mesure des sorties sur offset, séparation cmy0\* (CMY0)



TF970-5, Fig. B2Wdd: étoile de Siemens W-C<sub>d</sub>; W-M<sub>d</sub>; W-Y<sub>d</sub>; W-N; PS opérateur: rgb → rgb<sub>dd</sub> setrgbcolor



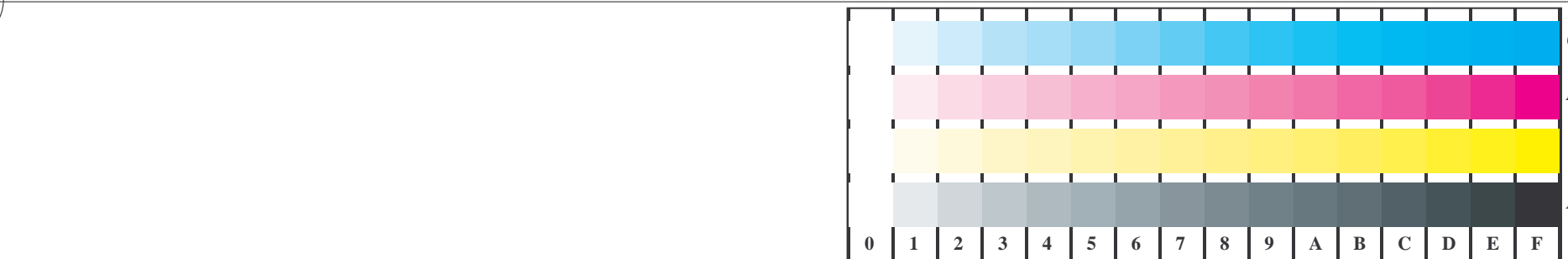
TF971-5, Fig. B6Wdd: anneaux de Landolt W-C<sub>d</sub>; W-M<sub>d</sub>; PS opérateur: rgb → rgb<sub>dd</sub> setrgbcolor



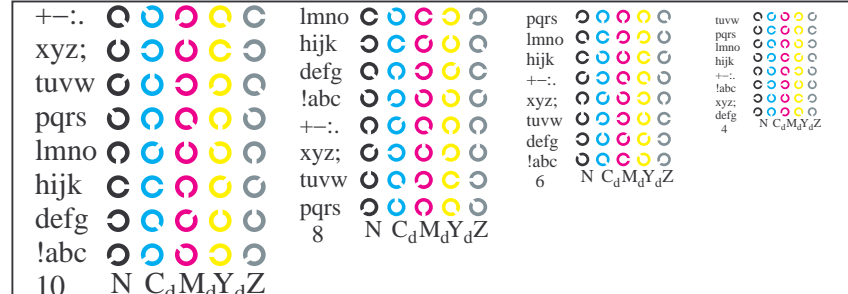
TF971-7, Fig. B7Wdd: anneaux de Landolt W-Y<sub>d</sub>; W-N; PS opérateur: rgb → rgb<sub>dd</sub> setrgbcolor

voir des fichiers similaires: <http://130.149.60.45/~farbmetrik/TF97/TF97L0FP.PDF> / .PS  
 informations techniques: <http://www.ps.bam.de> ou <http://130.149.60.45/~farbmetrik>

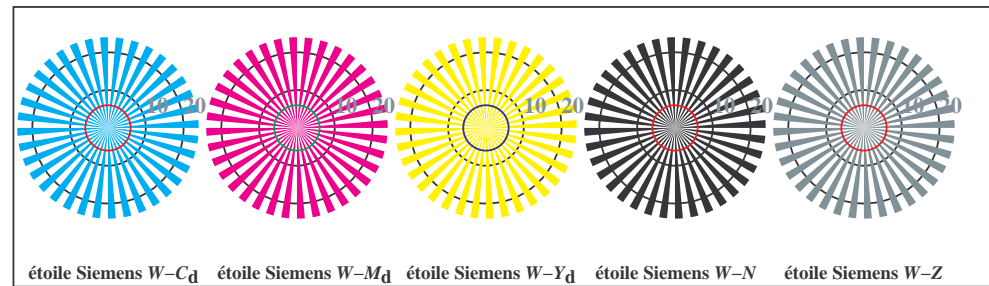
TUB enregistrement: 20150701 - TF97/TF97L0FP.PDF / .PS TUB matériel: code=rh4ta  
 application pour la mesure des sorties sur offset, séparation cmy0\* (CMY0)



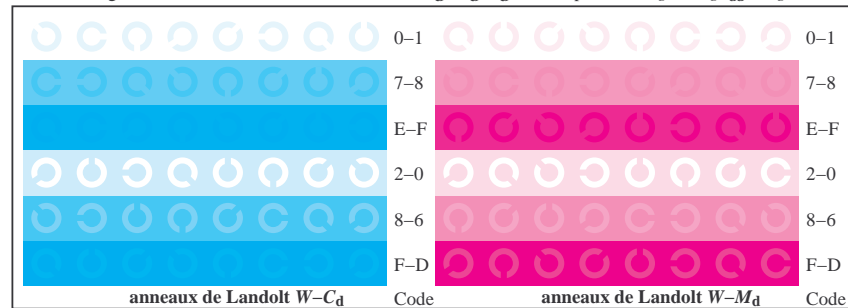
TF971-1, Fig. B4Wdd: 16 paliers équidistants W-C<sub>d</sub>; W-M<sub>d</sub>; W-Y<sub>d</sub>; W-N; rgb/cmy0 → rgb<sub>dd</sub> setrgbcolor



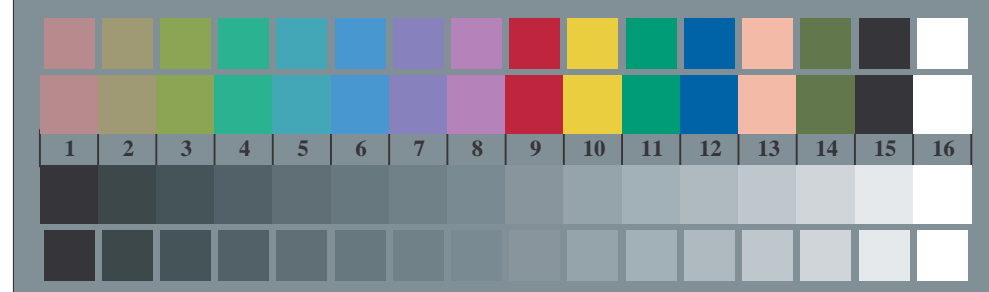
TF971-3, Fig. B5Wdd: code et anneau de Landolt N; C<sub>d</sub>; M<sub>d</sub>; Y<sub>d</sub>; Z; PS opérateur: rgb → rgb<sub>dd</sub> setrgbcolor



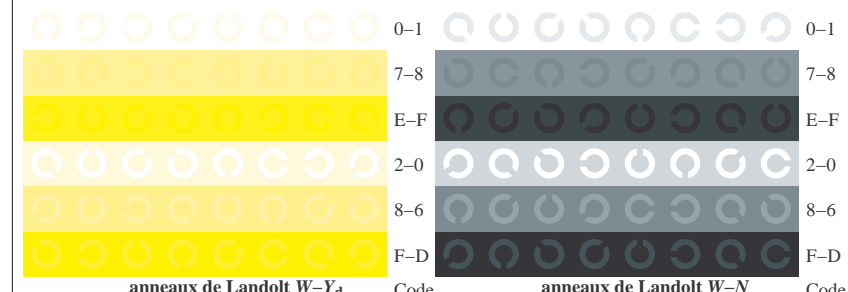
TF970-5, Fig. B2Wdd: étoile de Siemens W-C<sub>d</sub>; W-M<sub>d</sub>; W-Y<sub>d</sub>; W-N; PS opérateur: rgb → rgb<sub>dd</sub> setrgbcolor



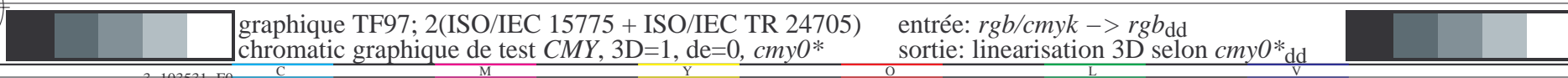
TF971-5, Fig. B6Wdd: anneaux de Landolt W-C<sub>d</sub>; W-M<sub>d</sub>; PS opérateur: rgb → rgb<sub>dd</sub> setrgbcolor



TF970-7, Fig. B3Wdd: 14 CIE test couleurs et 2 + 16 paliers de gris (sf); PS opérateur: rgb/cmy0 → rgb<sub>dd</sub> setrgbcolor



TF971-7, Fig. B7Wdd: anneaux de Landolt W-Y<sub>d</sub>; W-N; PS opérateur: rgb → rgb<sub>dd</sub> setrgbcolor



graphique TF97; 2(ISO/IEC 15775 + ISO/IEC TR 24705) entrée: rgb/cmyk → rgb<sub>dd</sub>  
 chromatic graphique de test CMY, 3D=1, de=0, cmy0\* sortie: linearisation 3D selon cmy0\*<sub>dd</sub>

http://130.149.60.45/~farbmetrik/TF97/TF97L0FP.PDF /.PS; linearisation 3D F: linearisation 3D TF97/TF97L0FP.DAT dans fichier (F), page 7/22

Table with 15 columns: nrf, HFC\_Fid, rfp\_Fid, icr\_Fid, hsa\_Fid, rfpb\_Fid, LabCm\_Fid, LabCm\_sep\_Fid, cmy0\_sep\_Fid, rfpb\_Mid, hsa\_Mid, rfpb\_Mid, LabCm\_Mid, delta. Rows include color names like R000, R001, Y000, etc.

entrée: rgb/cmyk -> rgbd sortie: linearisation 3D selon cmy0\*dd

graphique TF97; 2(ISO/IEC 15775 + ISO/IEC TR 24705) couleurs et différences, ΔE\*, 3D=L, de=0, cmy0\*

http://130.149.60.45/~farbmetrik/TF97/TF97L0FP.PDF /.PS; linearisation 3D F: linearisation 3D TF97/TF97L0FP.DAT dans fichier (F), page 8/22

Table with columns: ruf, HFC\_Fid, R25Y\_100\_1000d, R50Y\_100\_1000d, R75Y\_100\_1000d, iCr\_Fid, iMg\_Fid, iBs\_Fid, rGb\_Fid, LabC\*\_Fid, LabM\*\_Fid, LabY\*\_Fid, cmyk\*\_sep\_Fid, LabC\*\_Fid, rGb\*\_Fid, rMg\*\_Fid, rBs\*\_Fid, LabC\*\_Fid, LabM\*\_Fid, LabY\*\_Fid, delta

entrée: rgb/cmyk -> rgbdd sortie: linearisation 3D selon cmy0\*dd

graphique TF97; 2(ISO/IEC 15775 + ISO/IEC TR 24705) couleurs et différences, ΔE\*, 3D=L, de=0, cmy0\*

http://130.149.60.45/~farbmetrik/TF97/TF97L0FP.PDF /PS; linearisation 3D F: linearisation 3D TF97/TF97L0FP.DAT dans fichier (F), page 9/22

Table with 80 rows and 15 columns: n=F, HIC\*Fid, rpb\_Fid, icr\_Fid, hsa\_Fid, rpb\_Fid, LabCM\*Fid, cmy0\*sep\_Fid, rpb\_Fid, hsa\_Fid, rpb\_Fid, LabCM\*Fid, delta, rpb\_Fid, LabCM\*Fid, delta. Each cell contains numerical values.

entrée: rgb/cmyk -> rrgbdd sortie: linearisation 3D selon cmy0\*dd

graphique TF97; 2(ISO/IEC 15775 + ISO/IEC TR 24705) couleurs et différences, ΔE\*, 3D=L, de=0, cmy0\*

http://130.149.60.45/~farbmetrik/TF97/TF97LOFP.PDF /.PS; linearisation 3D F: linearisation 3D TF97/TF97LOFP.DAT dans fichier (F), page 10/22

Table with 16 columns: n, HHC\*Fid, rpb\*Fid, icr\*Fid, hsa\*Fid, rpb\*Fid, LabCM\*Fid, cmy0\*sep,Fid, rpb\*Fid, hsa\*Fid, rpb\*Fid, LabCM\*Fid, delta, rpb\*Fid, hsa\*Fid, LabCM\*Fid. Rows 81-161.

entrée: rgb/cmyk -> rrgbdd sortie: linearisation 3D selon cmy0\*dd

graphique TF97; 2(ISO/IEC 15775 + ISO/IEC TR 24705) couleurs et différences, ΔE\*, 3D=L, de=0, cmy0\*

TF970-TN.1022-F

3-103931-F0

http://130.149.60.45/~farbmetrik/TF97/TF97L0FP.PDF /.PS; linearisation 3D F: linearisation 3D TF97/TF97L0FP.DAT dans fichier (F), page 1/22

Table with 24 columns: n, HHC\*Foid, rpb\_Foid, icr\_Foid, hsa\_Foid, rpb\*Foid, LabCM\*Foid, cmyk\*sep\_Foid, rpb\*Foid, hsa\*Foid, LabCM\*Foid, delta. Rows 162-242.

entrée: rgb/cmyk -> rrgbdd sortie: linearisation 3D selon cmy0\*dd

graphique TF97; 2(ISO/IEC 15775 + ISO/IEC TR 24705) couleurs et différences, ΔE\*, 3D=L, de=Y, cmy0\*

3-1031031-F0 3-1031031-F0

http://130.149.60.45/~farbmetrik/TF97/TF97LOFP.PDF /.PS; linearisation 3D F: linearisation 3D TF97/TF97LOFP.DAT dans fichier (F), page 12/22

Table with 32 columns: n, HHC\*Foid, rpb\_Foid, icr\_Foid, Hs\_Foid, rpb\*Foid, LabCM\*Foid, cmy0\*sep\_Foid, rpb\*Foid, Hs\*Foid, icr\*Foid, LabCM\*Foid, delta. Rows 243-323.

entrée: rgb/cmyk -> rrgbdd sortie: linearisation 3D selon cmy0\*dd

graphique TF97; 2(ISO/IEC 15775 + ISO/IEC TR 24705) couleurs et différences, ΔE\*, 3D=L, de=0, cmy0\*

3-1031131-F0 3-1031131-F0



http://130.149.60.45/~farbmetrik/TF97/TF97LOFP.PDF /.PS; linearisation 3D F: linearisation 3D TF97/TF97LF30FP.DAT dans fichier (F), page 14/22

Table with 40 columns: n, HHC\*Fid, rpb\_Fid, icr\_Fid, Hs\_Fid, rpb\*Fid, LabCM\*Fid, cmy0\*sep\_Fid, rpb\*Fid, Hs\*Fid, LabCM\*Fid, delta. Rows 405-485.

entrée: rgb/cmyk -> rrgbdd sortie: linearisation 3D selon cmy0\*dd

graphique TF97; 2(ISO/IEC 15775 + ISO/IEC TR 24705) couleurs et différences, ΔE\*, 3D=L, de=0, cmy0\*

3-1031331-F0

http://130.149.60.45/~farbmetrik/TF97/TF97L0FP.PDF /.PS; linearisation 3D F: linearisation 3D TF97/TF97L0FP.DAT dans fichier (F), page 15/22

Table with 20 columns: n, HHC\*Fid, rpb\_Fid, icr\_Fid, Hsa\_Fid, rpb\*Fid, LabCM\*Fid, cmy\*Sep.Fid, rpb\*Fid, Hsa\*Fid, LabCM\*Fid, rpb\*Fid, Hsa\*Fid, LabCM\*Fid, cmy\*Sep.Fid, rpb\*Fid, Hsa\*Fid, LabCM\*Fid, delta. Rows 486-566.

entrée: rgb/cmyk -> rrgbdd sortie: linearisation 3D selon cmy0\*dd

graphique TF97; 2(ISO/IEC 15775 + ISO/IEC TR 24705) couleurs et différences, ΔE\*, 3D=L, de=0, cmy0\*

TF970-7N; 15:22-F

3-1031431-F0

http://130.149.60.45/~farbmetrik/TF97/TF97L0FP.PDF /.PS; linearisation 3D F: linearisation 3D TF97/TF97L0FP.DAT dans fichier (F), page 16/22

Table with 20 columns: n, HHC\*Fid, rpb\_Fid, icr\_Fid, hsa\_Fid, rpb\*Fid, LabCM\*Fid, cmy0\*sep\_Fid, cmy0\*sep\_Fid, rpb\*Fid, hsa\*Fid, LabCM\*Fid, delta. Rows contain numerical data for various color and registration marks.

entrée: rgb/cmyk -> rrgbdd sortie: linearisation 3D selon cmy0\*dd

graphique TF97; 2(ISO/IEC 15775 + ISO/IEC TR 24705) couleurs et différences, ΔE\*, 3D=L, de=0, cmy0\*

TF970-7N; 16222-F

3-1031531-F0

http://130.149.60.45/~farbmetrik/TF97/TF97L0FP.PDF /PS; linearisation 3D F: linearisation 3D TF97/TF97L0FP.DAT dans fichier (F), page 17/22

Table with 28 columns: n, HHC\*Fid, rpb\*Fid, icr\*Fid, Hrs\*Fid, rpb\*Fid, LabC\*Fid, cmyp\*sep,Fid, rpb\*Fid, Hrs\*Fid, LabC\*Fid, rpb\*Fid, LabC\*Fid, delta. Rows list various color and grayscale patches with their corresponding colorimetric values.

entrée: rgb/cmyk -> rrgbdd sortie: linearisation 3D selon cmy0\*\*

TF970-7N, 17.22-F

3-1031631-F0





http://130.149.60.45/~farbmetrik/TF97/TF97L0FP.PDF /.PS; linearisation 3D F: linearisation 3D TF97/TF97L0FP.DAT dans fichier (F), page 20/22

Table with 10 columns: n, HIC\*Fid, rpb\_Fid, icr\_Fid, hsa\_Fid, rpb\*Fid, LabC\*Fid, cmyk\*\_sep,Fid, rpb\*Mid, LabC\*Mid, delta. The table contains 971 rows of data for various color patches.

graphique TF97; 2(ISO/IEC 15775 + ISO/IEC TR 24705) couleurs et différences, ΔE\*, 3D=L, de=0, cmy0\* entrée: rgb/cmyk -> rrgbdd sortie: linearisation 3D selon cmy0\*\*dd

TF970-TN, 2012-2-F

3-1031931-F0

http://130.149.60.45/~farbmetrik/TF97/TF97L0FP.PDF /.PS; linearisation 3D F: linearisation 3D TF97/TF97L0FP.DAT dans fichier (F), page 21/22

Table with 15 columns: n, HC\*Fid, rpb\_Fid, icr\_Fid, Hs\_Fid, rpb\*Fid, LabC\*Fid, cmy\*sep\_Fid, LabC\*Mid, rpb\*Mid, Hs\_Mid, LabC\*Mid, cmy\*sep\_Mid, delta. Rows 972-1052.

entrée: rgb/cmyk -> rgbd sortie: linearisation 3D selon cmy0\*dd

graphique TF97; 2(ISO/IEC 15775 + ISO/IEC TR 24705) couleurs et différences, ΔE\*, 3D=L, de=0, cmy0\*

TF970-TN\_21.22-F

3-1032031-F0

